

Г.О. Сіренко, О.В. Кузишин

Зношування твердих тіл при наявності на їх поверхнях наноплівки мастильних матеріалів: залежність товщини плівок мінеральних олів від навантаження і температури

*Прикарпатський національний університет імені Василя Стефаника,
вул. Шевченка, 57, м. Івано-Франківськ, 76000, Україна*

Приведені розрахунки товщин мастильних плівок чотирьох мінеральних олів – вазелінової (медичної), індустриальної-20, компресорної-12М, авіаційної МС-20 – та залежності їх від температури і навантаження

Ключові слова: граничне тертя, гідродинамічний ефект, наноплівка, в'язкість, мастильний шар, кульовий контакт, температура.

Стаття поступила до редакції 15.03.2006р.; прийнята до друку 15.06.2006р.

Вступ

У роботі [1] в формули для визначення критеріїв гідродинамічних ефектів при терті твердих тіл і наявності на їх поверхнях плівок мастильних матеріалів введено коефіцієнт стисливості рідин і врахована багатопараметрична залежність в'язкості, п'єзокоефіцієнту в'язкості та коефіцієнту стисливості від тиску, температури, вихідної в'язкості при нормальних умовах та швидкості руху суміжних поверхонь.

Знайдено [1] вираз для розрахунку товщини мастильних плівок через критерій гідродинамічних ефектів і за допомогою формул контактно-гідродинамічної теорії доведено, що обидва методи розрахунку збігаються в межах 2,35-9,66%. На прикладі контакту термостійкого полімеру ароматичного поліаміду зі сталлю при 1-10% обмеженому мащенню мінеральною оливою показано, що мастильні плівки на суміжних поверхнях мають нанорозміри.

Доведено [1], що в контакті сфера-площина при змінному високому навантаженні і обмеженому мащенні мастильна наноплівка знаходиться у перехідному режимі від граничного тертя до пружно-гідродинамічного. При певних умовах (низька температура, високий тиск тощо) мастильні наноплівки знаходяться у квазітвердому стані.

Мета даної роботи полягала в тому, щоб за результатами випробувань мінеральних олів за схемою чотирикульового металічного контакту, використовуючи [1], знайти залежність товщини мастильної плівки від температури і навантаження.

I. Експериментальна частина

Висока чутливість точкового контакту до процесів, що виникають і супроводжують тертя та зношування твердих тіл [2], спонукали вибрати для дослідження схему контакту «куля-куля» (рис.1), який реалізується в чотирикульовій машині тертя (ЧКМТ) [2, 4].

Чотири кульки для вальниць діаметром 12,7 мм зі сталі ШХ-15 (HRC 60-65), були складені у піраміду (рис.1). Три долішні кульки були поміщені у під'ятник і закріплені притискним кільцем. Горішня кулька жорстко була зафіксована у спеціальному патроні на кінціві прямиовисного валу [2, 4].

Геометрія тетраедра (рис.1) визначає значення лінійної швидкості у зоні контакту v і величину нормальної складової N_i в теоретичній точці контакту осьової сили N на 3 кульки [3]:

$$v = \frac{d \cdot \omega}{2} \cdot \sin \alpha \left[\text{м/с} \right], \quad (1)$$

$$N_i = \frac{N}{3 \cos \alpha} \approx 0,4086N \text{ [Н]}, \quad (2)$$

де $d=12,7 \cdot 10^{-3}$ [м] – діаметр кульок; $\omega=2\pi n$ – кутова швидкість обертання горішньої кульки, с^{-1} (n – число обертів цієї кульки за секунду; частота обертання f); $\alpha=35^\circ 20'$ – кут між висотою і ребром правильного тетраедра (кут в основі піраміди з чотирьох кульок) (рис.1).

Випробування на навантажувальну здатність плівок мастильних олів проводили при 1140 обертів за хвилину горішньої кульки ($f=19\text{с}^{-1}$), що

відповідало лінійній швидкості у зоні контакту $v=0,4384$ м/с.

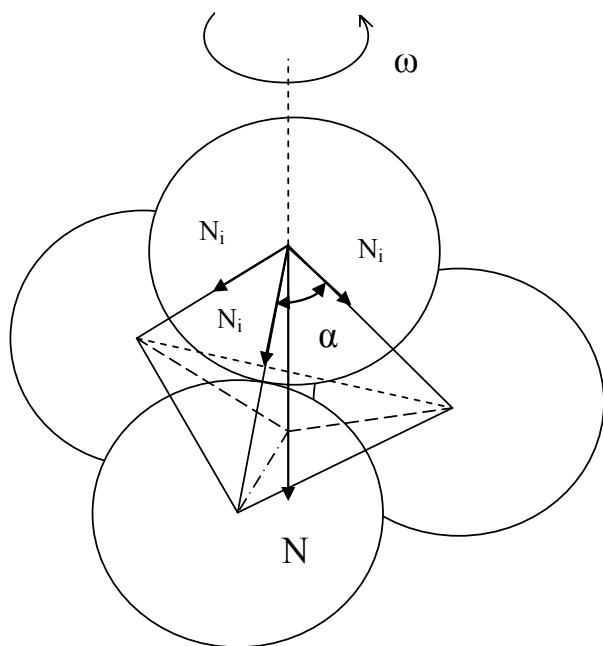


Рис. 1. Схема чотирикульового контакту.

При визначенні навантаження заїдання – критичного навантаження $N_{икр.}$, при якому спостерігається підвищений знос сталі, – навантаження N змінювали ступенями від 100-200 Н до $N_{кр.}$, а в ділянці $N_{кр.}$ – через 10-25 Н. Кожний дослід тривав 1 хв. і проводився окремо з новою порцією мастила. ЧКМТ була обладнана тензометричним пристроєм і потенціометром КСП-4, що дозволяло перехід до $N_{кр.}$ фіксувати за різким зростанням моменту тертя (коефіцієнта тертя). Температура мастильної оливи визначали за $\sim 2,5$ мм від зони контакту, яка в момент задиру становила $90 \pm 5^\circ\text{C}$.

Початковий p_0 та у кінці випробування p_k тиски у зоні контакту, що витримувала мастильна плівка, розраховували за [5]:

$$p_0 = N_i / \left(\frac{\pi d_r^2}{4} \right); \quad (3)$$

$$p_k = N_i / \left(\frac{\pi d_3^2}{4} \right), \quad (4)$$

де d_3 – діаметр плями зношування для однієї кульки; d_r – діаметр плями пружної деформації за Герцем, розрахований за формулою [5], для однієї кульки:

$$d_r = 1,76 \sqrt[3]{\frac{N_i \cdot d}{E}} = 0,040948 \sqrt[3]{N} [\text{мм}],$$

де $E=206010$ [Н/мм²] – модуль пружності Юнга сталі ШХ-15, N_i, N в [Н], d в [мм].

Знос сталі визначали за d_3 [мм], $\Delta d=(d_3 - d_r)$ [мм] та безрозмірним показником зносу J_4 за 60 с випробувань на навантажувальну здатність:

$$J_4 = \sqrt{\frac{1}{n} \sum_{i=1}^n \left(\frac{d_{3i} - d_{Гi}}{d_{Гi}} \right)^2}, \quad (5)$$

де $d_{3i}, d_{Гi}$ брали від $N=200$ Н до $N_{кр.}$ через $N_i=100$ Н плюс $d_{зкр.}$ і $d_{Гкр.}$ при $N_{кр.}$; $d_{кр.}$ – діаметри плями зносу або пружної деформації при $N_{кр.}$.

Оцінку протизношувальних властивостей мастильних плівок здійснювали також за діаметром плями зносу при $N=200$ Н ($N_i=82$ Н) за 60 с випробувань на навантажувальну здатність та діаметром плями зносу при $N=200$ Н ($N_i=82$ Н) за 4 год. випробувань при 1470 обертів горішньої кульки за хвилину ($f=24,5\text{c}^{-1}$), що відповідало лінійній швидкості у зоні контакту $v=0,5653$ м/с, при цьому температура за ~ 3 мм від зони контакту, що визначена термопарою ХК і вторинним приладом – потенціометром КСП-4, становила $45 \pm 5^\circ\text{C}$ в межах 0,5-4 год. випробувань різних мастильних олив. Для оцінки гідродинамічних ефектів використали критерій Ланкастера [1,6,7]:

$$S_{h0} = \frac{\eta_{0t} v (d_r)^3}{N_i} = \frac{\nu_{0t} \rho_t v (d_r)^3}{N_i} [\text{м}^2], \quad (6)$$

$$S_{h\tau} = \frac{\eta_t v (d_3)^3}{N_i} = \frac{\nu_t \rho_t v (d_3)^3}{N_i} [\text{м}^2], \quad (7)$$

де η_{0t}, ν_{0t} – динамічна і кінематична в'язкість мастильної рідини при нормальному тиску і температурі t в герцівському контакті (при прикладанні навантаження і часі $\tau_0=0$);

η_t, ν_t – теж саме в кінці зношування;

ρ_t – густина мастильної рідини при нормальному тиску і температурі t .

Використовуючи співвідношення [8], запишемо:

$$d_{кр.} = k \left(\frac{N_i}{\eta_{0t} v} \right)^{1/3}, \quad (8)$$

звідки знайдемо

$$d_{кр.} = 2,73 h_{кр.}^{2/3} \left(\frac{N_i}{\eta_{0t} v} \right)^{1/3}, \quad (9)$$

звідки

$$h_0 = \left(\frac{S_{h0}}{20,3465} \right)^{1/2}, \quad (10)$$

$$h_\tau = \left(\frac{S_{h\tau}}{20,3465} \right)^{1/2}, \quad (11)$$

де h_0, h_τ – товщина мастильної плівки на початку тертя (герцівський контакт) і в кінці тертя відповідно.

Для дослідження наноплівки, що утворюються на поверхні сталі ШХ-15, використали такі оливи: авіаційну МС-20; компресорну 12(М); індустріальну-20; вазелінову (медичну) (табл.1).

II. Результати та обговорення

На рис. 2 приведені результати дослідження на ЧКМТ навантажувальної здатності мастильних плівок на поверхні сталі ШХ-15. Результати представлені у вигляді таких залежностей:

$$d_r = f(N_i, N_{кр.}, p_0) \quad (12)$$

$$d_r = \psi(N_i, N_{кр.}, p_0) \quad (13)$$

для вазелінової (медичної) (крива 1), індустріальної-20 (крива 2), компресорної 12(М) (крива 3) та авіаційної МС-20 (крива 4) олив. Лінія а відповідає діаметрам d_r плям пружної деформації за Герцем.

Як видно з рис. 2, перехід мастильної плівки до критичного стану супроводжується різким зростанням діаметра плями зносу d_3 до 1,5-2,2 мм (і підвищенням коефіцієнта тертя, величини якого засвідчують про настання металічного контакту). У табл. 1 зведені дані розрахунків за рис.2 показників протизадирних властивостей $N_{ікр.}$, $\Delta d_{кр.}$ і $d_{кр.}$ за 60 с, протизношувальних властивостей J_4 , d_3 за 60 с і 4 год. та кінематичної в'язкості при 45 і 90°C мастильних олив.

Пошук лінійної кореляції між $N_{ікр.}$ та v_{45° , v_{90° , $\Delta d_{кр.}$, $d_{кр.}$, J_4 та між d_3 (за 60 с), d_3 (за 4 год.), J_4 та v_{45° проводили за вибірковим коефіцієнтом кореляції $r_{x,y}$ [9]. Прийняття або відкидання нульової гіпотези (рівності нулю генерального коефіцієнта кореляції $H_0: \rho_{x,y}=0$) здійснювали за критичним значенням коефіцієнта кореляції $r_{кр.}$. $\{\alpha=0,05; f=N-2=2\}$ [10], де α – рівень значущості, f – число ступенів вільностей. З-за обмеженості обсягу вибірки $r_{x,y}$ і суттєвої відмінності його розподілу від нормального закону Гауса перейшли до нової випадкової величини z за перетворенням Фішера [9]:

$$z = \frac{1}{2} \ln \frac{1 + r_{x,y}}{1 - r_{x,y}}, \quad (14)$$

розподіл якої добре апроксимується нормальним законом Гауса зі середнім квадратичним відхиленням:

$$\sigma_z = \frac{1}{\sqrt{N-3}} = 1. \quad (15)$$

При $|r_{x,y}| \leq r_{кр.}$ плюс $|z| \leq (z_p \cdot \sigma_z)$, де $z_p = z_{1-\alpha/2} = z_{0,975} = 1,96$ [9] – значення квантиля нормованого нормального розподілу випадкової

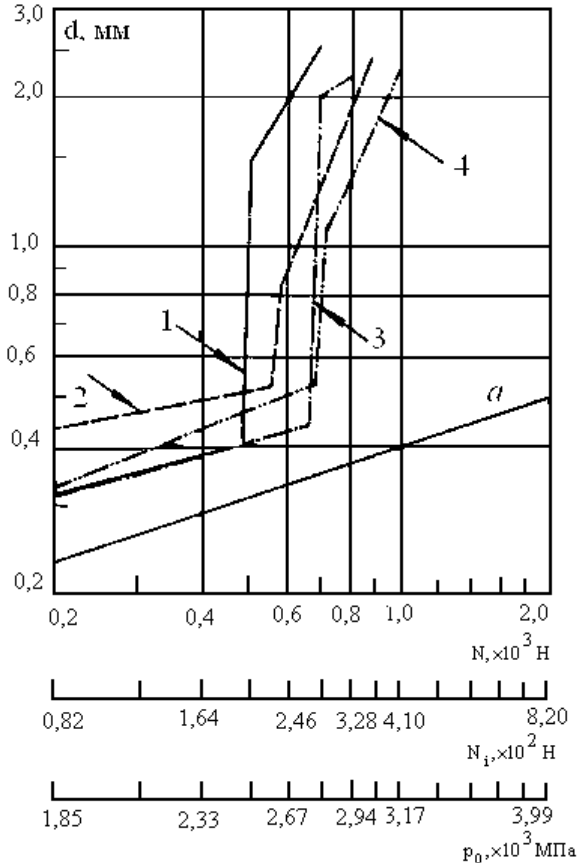


Рис. 2. Залежність діаметра плями зносу d_r від осевого навантаження N , навантаження на одну кульку N_i і середнього початкового тиску p_0 для мастильних олив: 1–вазелінова (медична); 2–індустріальна-20; 3 – компресорна-12М; 4 – авіаційна МС-20; а–лінія пружної деформації за Герцем для d_r .

величини z для $\alpha=0,05$, нульову гіпотезу H_0 приймали (з ймовірністю $p=0,95$ та з ймовірністю ризику $\alpha=0,05$), а при $|r_{x,y}| > r_{кр.}$ плюс $|z| > (z_p \cdot \sigma_z)$ H_0 відкидали (з ймовірністю $p=0,95$ та з ймовірністю ризику $\alpha=0,05$). Результати розрахунків $r_{x,y}$ для y і x та значення $r_{кр.}$ і $r_{x,y} (z_{0,975} \cdot \sigma_z)$ зведені в табл. 2. Як видно з табл. 2, з $\alpha=0,05$ лінійної кореляції між будь-якими дослідженими величинами не виявлено.

Для найбільших коефіцієнтів кореляції між $N_{ікр.}$ і v_{45° , $N_{ікр.}$ і v_{90° , $N_{ікр.}$ і $d_{кр.}$ лише з великою ймовірністю ризику $\alpha=0,40$ можна стверджувати про слабкий лінійний зв'язок між $N_{ікр.}$ і v_{90° [$(z_{0,8} \cdot \sigma_z)=0,84$].

Таблиця 1

В'язкісно-температурні, протизадирні та протизношувальні властивості мастильних олив при терті пари «сталь ШХ-15 – сталь ШХ-15»

Мастильна олива	Кінематична в'язкість, $\text{мм}^2/\text{с}$		Протизадирні властивості			Протизношувальні властивості		
	45°C	90 °C	$N_{ікр.}$, Н	$\Delta d_{кр.}$, (мм) за 60с	$d_{кр.}$, (мм) за 60с	d_3 , (мм) за 60с $N=200$ Н	d_3 , (мм) за 4 год. $N=200$ Н	J_4 за 60 с
авіаційна МС-20	414	28,2	281	0,174	0,529	0,324	0,57	0,441
компресорна-12(М)	110	19,4	278	0,087	0,439	0,314	0,92	0,277
індустріальна-20	32,6	9,2	242	0,193	0,525	0,432	1,07	0,683
вазелінова (медична)	44,6	10	201	0,081	0,399	0,314	0,65	0,289

Коефіцієнти лінійної кореляції ($\alpha=0,05$; $f=2$) між критичним навантаженням і в'язкістю та показниками зносу

Кореляційний зв'язок між величинами у і х	$r_{x,y}$	$r_{кр.}$ [10]	z	$(z_{0,975} \cdot \sigma_z)$ [9]
$N_{ікр.} \sim v_{45^\circ}$	0,654	0,95	0,783	1,96
$N_{ікр.} \sim v_{90^\circ}$	0,815	0,95	1,142	1,96
$N_{ікр.} \sim \Delta d_{кр.}$	0,314	0,95	0,325	1,96
$N_{ікр.} \sim d_{кр.}$	0,551	0,95	0,623	1,96
$N_{ікр.} \sim J_4$	0,045	0,95	0,045	1,96
d_3 (60 с) $\sim v_{45^\circ}$	-0,364	0,95	-0,382	1,96
d_3 (4 год.) $\sim v_{45^\circ}$	-0,651	0,95	-0,777	1,96
$J_4 \sim v_{45^\circ}$	-0,057	0,95	-0,057	1,96
d_3 (4 год.) $\sim d_3$ (60 с)	0,728	0,95	0,925	1,96
$J_4 \sim d_3$ (60 с)	0,948	0,95	1,812	1,96
$J_4 \sim d_3$ (4 год.)	0,520	0,95	0,576	1,96

Таким чином, в'язкісно-температурні характеристики олив та напруження контакту (за $\Delta d_{кр.}$ і $d_{кр.}$) не визначають критичний стан мастильної плівки та їх протизношувальні властивості.

На рис. 3 приведена залежність товщини мастильної плівки на початку (h_0) і в кінці (h_τ) 1 хв. випробувань (рис.1) від температури для авіаційної МС-20, компресорної-12(М), індустріальної-20 і вазелінової (медичної) олив.

Експериментальні дані залежностей товщини мастильної плівки в герцівському контакті $h_0(y_1)$ та в кінці 1 хв. випробувань на ЧКМТ h_τ (y_2) від температури $t(x)$ в межах від $N_0=200$ Н до $N_{ікр}$ апроксимуються рівняннями для олив:

авіаційна МС-20

$$h_0 y_1 = 2725x^{-1,2483}, R^2 = 0,997, R_1^2 = 0,996; \quad (16)$$

$$h_\tau y_2 = 4951,9x^{-1,2482}, 2R^2 = 0,997, R_1^2 = 0,996; \quad (17)$$

компресорна-12 (М)

$$h_0 y_1 = 1037,2x^{-1,0772}, R^2 = 0,9866, R_1^2 = 0,9821; \quad (18)$$

$$h_\tau y_2 = 1443,2x^{-1,0772}, R^2 = 0,9866, R_1^2 = 0,9821; \quad (19)$$

індустріальна-20

$$h_0 y_1 = 182,97x^{-0,7784}, R^2 = 0,984, R_1^2 = 0,9787; \quad (20)$$

$$h_\tau y_2 = 363,86x^{-0,7783}, R^2 = 0,984, R_1^2 = 0,9787; \quad (21)$$

вазелінова (медична)

$$h_0 y_1 = 26,62e^{-0,0178x}, R^2 = 0,9984, R_1^2 = 0,9979; \quad (22)$$

$$h_\tau y_2 = 37,354e^{-0,0178x}, R^2 = 0,9984, R_1^2 = 0,9979, \quad (23)$$

тут $R^2 = 1 - \frac{SS_{ад.}}{SS_{від.}}$ характеризує тісноту (силу)

нелінійного зв'язку в рівняннях регресії, де

$$SS_{ад.} = \sum_{i=1}^N (y_i - \hat{y}_i)^2 - \text{девіата дисперсії}$$

адекватності (сума квадратів відхилення, що пов'язана з дисперсією адекватності):

$$S_{ад.}^2 = \frac{SS_{ад.}}{f_{ад.}} = \frac{\sum_{i=1}^N (y_i - \hat{y}_i)^2}{N - \lambda}; \quad (24)$$

де N – число дослідів, які враховували при оцінці коефіцієнтів регресії; λ – число коефіцієнтів рівняння регресії; $f_{ад.}=(N-\lambda)$ – число ступенів свободи, що пов'язане з дисперсією адекватності; y_i – результат окремого спостереження; \hat{y}_i – розрахункове значення у за рівнянням регресії (моделі);

$$SS_{від.} = \sum_{i=1}^N (y_i)^2 - \frac{1}{N} \left(\sum_{i=1}^N y_i \right)^2 - \text{девіата дисперсії}$$

відтворення (сума квадратів відхилення, що пов'язана з дисперсією відтворення):

$$S_{від.}^2 = \frac{SS_{від.}}{f_{від.}} \text{ (характеризує помилку всього}$$

експерименту);

$f_{від.}=(N-1)$ – число ступенів свободи, що пов'язане з дисперсією відтворення.

Тут оцінку тісноти (сили) нелінійного зв'язку в рівнянні регресії дано також за квадратом кореляційного співвідношення:

$$R_1 = \sqrt{1 - \frac{S_{ад.}^2}{S_{від.}^2}} = \sqrt{1 - \frac{SS_{ад.} (N - 1)}{SS_{від.} (N - \lambda)}}, \quad (25)$$

при цьому $R = R_1$ при $\lambda=1$.

Як видно з наведених вище даних, для авіаційної, компресорної та індустріальної олив рівняння регресії залежностей h_0 , $h_\tau \sim \psi(t)$ має вигляд $y = b_0 x^{-b_1}$, при цьому в ряду наведених мастил абсолютне значення b_0 і b_1 значно зменшується як для h_0 , так і h_τ ; для вазелінової оливи рівняння регресії має вигляд $y = b_0 \exp(-b_1 x)$, що ймовірно пов'язано з реологічними властивостями олив.

На рис. 3 наведені криві, які побудовані за усередненими даними для 4-6 навантажень від

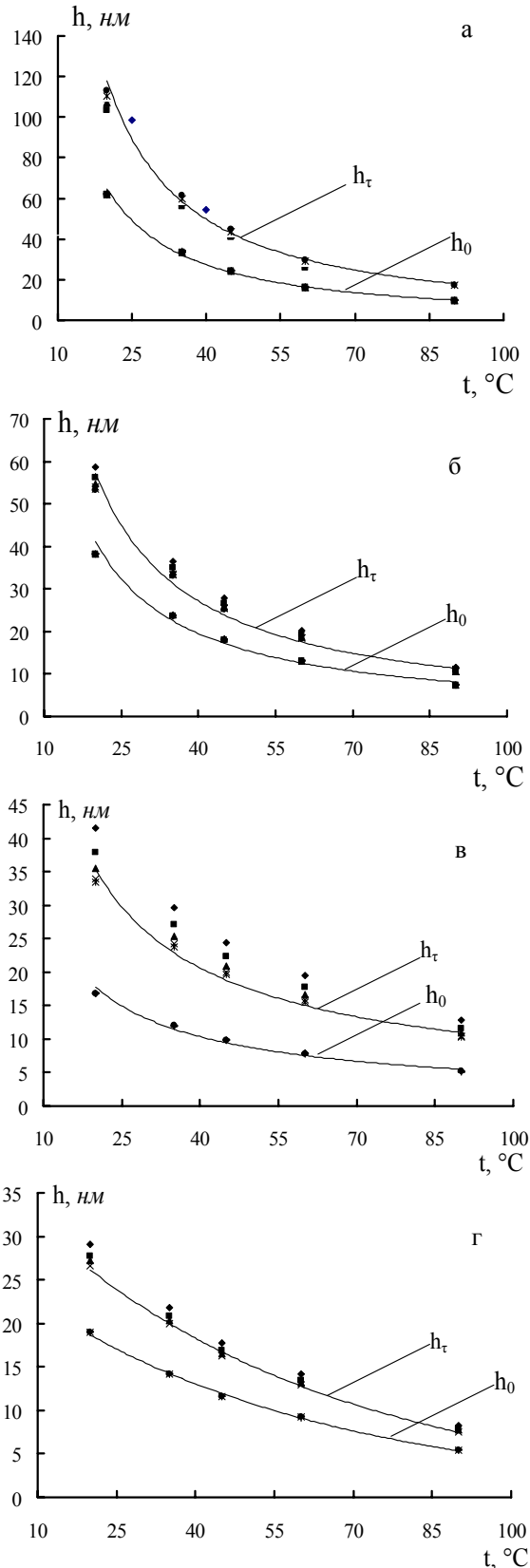


Рис. 3. Залежність товщини мастильної плівки на поверхні сталі ШХ-15 від температури для олив: а – авіаційна МС-20; б – компресорна-12 (М); в – індустріальна-20; г – вазелінова (медична).

$N=200$ Н до $N_{кр.}$ через $\Delta N=100$ Н для кожної t -точки. Таке усереднення за навантаженнями залежностей h_0 ,

$h_{\tau} \sim f(t)$ виправдано, так як залежності h_0 , $h_{\tau} \sim \psi(N)$ мають лінійний характер і, окрім $t=20^{\circ}\text{C}$, для температур $t=45-90^{\circ}\text{C}$ їх криві паралельні вісі абсцис, тобто $h_0(t)$, $h_{\tau}(t) \approx \text{const}$ (рис.4). Так, для авіаційної оливи (рис. 4а) при зміні N від 200 до $N_{кр.}=688$ Н: при 20°C товщина мастильної плівки h_0 в герцівському контакті змінюється від 62,20 до 62,10 нм, при 45°C – від 24,49 до 24,45 нм, при 60°C – від 16,28 до 16,26 нм, при 90°C – від 9,64 до 9,62 нм, тобто майже не змінюється, але товщина мастильної плівки h_{τ} в кінці 1 хв. випробувань змінюється при 20°C від 100,24 до 112,89 нм, при 45°C – від 39,47 до 44,45 нм, при 60°C – від 26,24 до 29,55 нм, при 90°C – від 15,53 до 17,50 нм, тобто повільно зростає, що пов'язано з реологічними властивостями цього мастила та додатковим збільшенням площадки пружної деформації за рахунок зношування, що є сприятливим явищем для високов'язкої рідини.

При цьому, величина критерію гідродинамічного ефекту майже не змінюється: при 20°C $Sh_0=(7,87-7,85) \cdot 10^{-14} \text{ м}^2$, $Sh_{\tau}=(2,05-2,59) \cdot 10^{-13} \text{ м}^2$, при 90°C $Sh_0=(1,89-1,88) \cdot 10^{-15} \text{ м}^2$, $Sh_{\tau}=(4,91-6,23) \cdot 10^{-15} \text{ м}^2$.

Аналогічно для компресорної оливи (рис. 4б) при зміні N від 200 до $N_{кр.}=680$ Н: при 20°C h_0 змінюється від 38,24 до 38,28 нм, h_{τ} – від 58,77 до 53,27 нм, при 90°C h_0 – від 7,48 до 7,49 нм, h_{τ} – від 11,50 до 10,43 нм, при цьому величина критерію гідродинамічного ефекту змінюється в межах $Sh_0=(2,97-2,98) \cdot 10^{-14} \text{ м}^2$ і $Sh_{\tau}=(7,03-5,77) \cdot 10^{-14} \text{ м}^2$ при 20°C та $Sh_0=(1,14-1,14) \times 10^{-15} \text{ м}^2$, $Sh_{\tau}=(2,69-2,21) \cdot 10^{-15} \text{ м}^2$ при 90°C .

Для індустріальної оливи (рис. 4в) при зміні N від 200 до $N_{кр.}=592$ Н: при 20°C h_0 змінюється від 16,79 до 16,80 нм, h_{τ} від 41,57 до 33,41 нм, при 90°C h_0 від 5,15 до 5,16 нм, h_{τ} – від 12,76 до 10,26 нм, при цьому величина критерію гідродинамічного ефекту Sh змінюється в межах $Sh_0=(5,73-5,74) \cdot 10^{-15} \text{ м}^2$ і $Sh_{\tau}=(3,52-2,27) \cdot 10^{-14} \text{ м}^2$ при 20°C та $Sh_0=(5,40-5,41) \times 10^{-16} \text{ м}^2$ і $Sh_{\tau}=(3,32-2,14) \cdot 10^{-15} \text{ м}^2$ при 90°C .

Для вазелінової оливи (рис. 4г) при зміні N від 200 до $N_{кр.}=492$ Н: при 20°C h_0 змінюється від 18,96 до 18,98 нм, h_{τ} – від 29,11 до 26,64 нм, при 90°C h_0 від 5,37 до 5,38 нм, h_{τ} від 8,25 до 7,55 нм, при цьому величина критерію гідродинамічного ефекту змінюється в межах $Sh_0=(7,31-7,33) \cdot 10^{-15} \text{ м}^2$, $Sh_{\tau}=(1,72-1,44) \cdot 10^{-14} \text{ м}^2$ при 20°C та $Sh_0=(5,87-5,89) \cdot 10^{-16} \text{ м}^2$, $Sh_{\tau}=(1,39-1,16) \cdot 10^{-15} \text{ м}^2$ при 90°C .

Як видно з цих результатів, мастильна наноплівка на поверхні сталі ШХ-15 в інтервалі $t=20-90^{\circ}\text{C}$ та $N=200-N_{кр.}$ Н знаходиться в стані жорсткого граничного тертя, при цьому цей стан найбільше жорсткий при 90°C , ніж при більш низьких температурах.

Повернемося до рис. 3, на якому приведені криві залежності товщини наноплівки мастильних олив від температури, і будемо оперувати усередненими даними за навантаженнями.

Як видно з рис. 3, товщина плівки h_0 , h_{τ} різко зменшується зі зростанням температури: а) для авіаційної оливи (рис.3а) при герцівському контакті h_0 – від 62,13 до 9,63 нм при зміні температури від 20 до 90°C , при цьому величина критерію гідродинамічного ефекту Sh_0 зменшується від

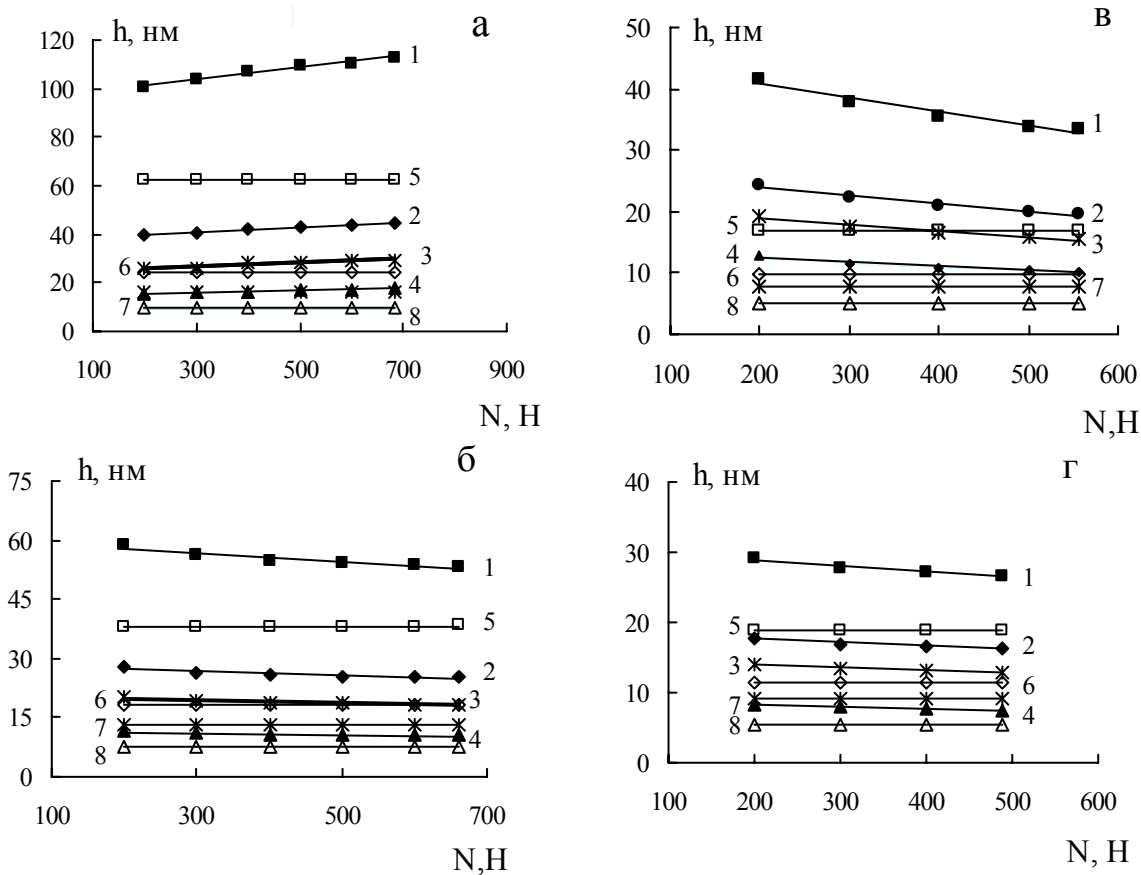


Рис. 4. Залежність товщини мастильної плівки в кінці випробувань h_t (1–4) та в герцівському контакті на початку випробувань h_0 (5–8) від навантаження N ($^{\circ}\text{C}$): 1,5–20; 2,6–45; 3,7–60; 4,8–90; для олив: а – авіаційна МС-20; б – компресорна-12(М); в – індустріальна-20; г – вазелінова (медична).

$7,85 \cdot 10^{-14} \text{ м}^2$ до $1,89 \cdot 10^{-15} \text{ м}^2$, а в кінці 1 хв. випробувань h_t – від 107,32 до 16,63 нм при зміні температури від 20 до 90°C , при цьому Sh_t зменшується від $2,35 \cdot 10^{-13}$ до $5,64 \cdot 10^{-15} \text{ м}^2$; б) для компресорної оливи (рис. 3б) на початку випробувань товщина наноплівки h_0 зменшується від 38,21 до 7,48 нм при зміні температури від 20 до 90°C , при цьому Sh_0 змінюється від $2,97 \cdot 10^{-14} \text{ м}^2$ до $1,14 \cdot 10^{-15} \text{ м}^2$, а в кінці випробувань товщина плівки h_t зменшується від 55,07 до 10,78 нм при зміні температури від 20 до 90°C , при цьому Sh_t змінюється від $6,18 \cdot 10^{-14} \text{ м}^2$ до $2,24 \cdot 10^{-15} \text{ м}^2$; в) для індустріальної оливи (рис. 3в) на початку випробувань товщина наноплівки h_0 зменшується від 16,78 до 5,15 нм при зміні температури від 20 до 90°C , при цьому Sh_0 змінюється від $5,72 \cdot 10^{-15} \text{ м}^2$ до $5,40 \cdot 10^{-16} \text{ м}^2$, а в кінці випробувань товщина наноплівки h_t зменшується від 36,47 до 11,20 нм при зміні температури від 20 до 90°C , при цьому Sh_t змінюється від $2,72 \cdot 10^{-14} \text{ м}^2$ до $2,57 \cdot 10^{-15} \text{ м}^2$; г) для вазелінової оливи (рис. 3г) на початку випробувань товщина наноплівки h_0 зменшується від 18,95 до 5,37 нм при зміні температури від 20 до 90°C , при цьому Sh_0 змінюється від $7,31 \cdot 10^{-15} \text{ м}^2$ до $5,87 \cdot 10^{-16} \text{ м}^2$, а в кінці випробувань товщина наноплівки h_t зменшується від 27,68 до 7,85 нм при зміні температури від 20 до 90°C , при цьому Sh_t змінюється від $1,56 \cdot 10^{-14} \text{ м}^2$ до $1,26 \cdot 10^{-15} \text{ м}^2$.

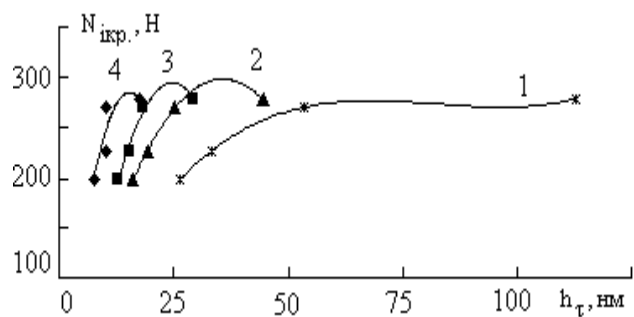


Рис. 5. Залежність критичного навантаження в точці контакту, що витримує мастильна плівка, від її товщини в кінці 1 хв. випробувань h_t і температури ($^{\circ}\text{C}$): 1 – 20; 2 – 45; 3 – 60; 4 – 90 (точки на одній кривій відповідають різним мастильним рідинам)

Таким чином, можна стверджувати, що з підвищенням температури і навантаження відбувається стоншення мастильної плівки до $h_0=5,15-9,63 \text{ нм}$ та $h_t=7,85-16,63 \text{ нм}$ при зменшенні величини критерію гідродинамічного ефекту до $Sh_0=(0,54-1,89) \cdot 10^{-15} \text{ м}^2$ та $Sh_t=(1,26-5,64) \cdot 10^{-15} \text{ м}^2$, що приводить до критичного стану наноплівки мастильних олив, який завершується настанням прориву плівки і металічним контактом на окремих ділянках мікроставушків шорсткої поверхні.

Лінійна кореляція ($\alpha=0,05$; $f=2$) між критичним навантаженням та товщинами наноплівки h_0 , h_t і величинами критеріїв гідродинамічних ефектів Sh_0 , Sh_t

Кореляційний зв'язок між величинами у і х	$r_{x,y}$	$r_{кр.}$ [10]	z	$(z_{0,975} \cdot \sigma_z)$ [9]
$N_{кр.} \sim h_0$	0,806	0,95	1,116	1,96
$N_{кр.} \sim h_t$	0,778	0,95	1,040	1,96
$N_{кр.} \sim Sh_0$	0,782	0,95	1,050	1,96
$N_{кр.} \sim Sh_t$	0,703	0,95	0,873	1,96

Між критичним навантаженням $N_{кр.}$ та товщинами наноплівок h_0 , h_t і величинами критеріїв гідродинамічних ефектів Sh_0 , Sh_t не існує тісного лінійного кореляційного зв'язку, але коефіцієнти кореляції достатньо високі (принаймні для $\alpha=0,4$ такий зв'язок ймовірний) (табл. 3). Як видно з рис. 3, між цими величинами існує нелінійний зв'язок.

Критичне навантаження залежить від товщини наноплівки мастильної оливи на твердих поверхнях (рис. 5). Як видно з рис. 5, з підвищенням температури спостерігається звуження ділянки товщини наноплівки для різних мастил і її переміщення в область малих значень товщин плівки.

Експериментальні дані залежностей критичного навантаження на одну кульку $N_{кр.}$ (у) від товщини мастильної плівки h_t (х) в кінці 1 хв. випробувань на ЧКМТ чотирьох мастильних олив апроксимуються рівняннями:

$$20^\circ\text{C} \quad y = 0,0005x^3 - 0,1332x^2 + 10,639x + 0,3399, R^2 = 1; \quad (26)$$

$$35^\circ\text{C} \quad y = 0,0018x^3 - 0,3244x^2 + 18,812x - 60,69, R^2 = 1 \quad (27)$$

$$45^\circ\text{C} \quad y = -0,2616x^2 + 18,75x - 37,489, R^2 = 0,9972; \quad (28)$$

$$60^\circ\text{C} \quad y = -0,695x^2 + 34,538x - 134,28, R^2 = 0,9748; \quad (29)$$

$$90^\circ\text{C} \quad y = -1,4039x^2 + 43,276x - 48,191, R^2 = 0,8003. \quad (30)$$

Висновки

- З підвищенням температури і навантаження в кульовому металічному контакті відбувається стоншення мастильної плівки до 5-10 нм для герцівського контакту та 8-17 нм в кінці 1хв. випробувань при зменшенні критерію гідродинамічного ефекту до величини порядку 10^{-16} - 10^{-15} м^2 , що приводить до критичного стану наноплівки мастильних олив, який завершується настанням прориву плівки і металічним контактом на окремих ділянках мікроставування шорсткої поверхні.
- Критичне навантаження залежить від товщини наноплівки мастильної оливи на твердих поверхнях.
- З підвищенням температури спостерігається звуження ділянки товщини наноплівки для різних мастил і її переміщення в область малих значень товщин плівки.

Сіренко Г.О. – доктор технічних наук, професор, завідувач кафедри теоретичної і прикладної хімії;
Кузишин О.В. – аспірант кафедри теоретичної і прикладної хімії.

- [1] Г.О. Сіренко, О.В. Кузишин. Зношування твердих тіл при наявності на їх поверхнях наноплівок мастильних матеріалів: оцінка гідродинамічних ефектів та розрахунок товщини плівки // *Фізика і хімія твердого тіла*, **5**(3), сс. 508-514 (2005).
- [2] Г.О. Сіренко. *Створення антифрикційних композитних матеріалів на основі порошків термостійких полімерів та вуглецевих волокон*. Дис... доктора техн. наук: 05.16.06, Ін-т проблем матеріалознавства ім. І.М.Францевича НАНУ, К., 431 с. (1997).
- [3] Г.В. Виноградов, Ю.Я. Подольский, М.Д. Безбородько. Использование машин с точечным контактом тел трения для оценки износа металлов, противозносных и антифрикционных свойств смазочных материалов // *Методы испытания на изнашивание*. АН СССР, М., сс. 152-163 (1962).
- [4] Р.В. Гриневич, В.В. Цасюк, А.С. Смирнов. Специализированные машины трения // *Применение полимерных материалов*. Картя Молдовеняскэ, Кишинев, сс. 33-36 (1975).
- [5] Г.А. Сіренко, А.С. Смирнов. Критерии оценки смазочной способности масел на четырехшариковой машине трения // *Труды Новочерк. политех. института «Вопросы теории трения, износа и смазки»*. **215**, сс. 38-42 (1969).
- [6] J.K. Lancaster. Lubrication of carbon fibre-reinforced polymers: Part I – Water and aqueous solutions // *Wear*, **20**(3), pp. 315-333 (1972).
- [7] J.K. Lancaster. Lubrication of carbon fibre-reinforced polymers: Part II – Organic Fluids // *Wear*, **20**(3), pp. 335-351 (1972).
- [8] W.G. Robertson, D.T. Spillman // *Proc. Inst. Mech. Engr. Paper 1*, **180**(3K), pp. 49-60 (1966).
- [9] М.Н. Степнов. *Статистическая обработка результатов механических испытаний*. Машиностроение, М., 232 с. (1972).

- [10] Ю.П. Адлер, Е.В. Маркова, Ю.В. Грановский. *Планирование эксперимента при поиске оптимальных условий*. Наука, М., 280 с. (1976).

H.A. Sirenko, O.V. Kuzyshyn

Wearability of Solids When the Nanofilms of Lubrication Materials on Their Surfaces are Given: Dependence Films Thickness of Mineral Oils on Loading and Temperature

*¹Vasyl Stefanyk' Precarpathian National University,
57, Shevchenko Str., Ivano-Frankivsk, 76000, Ukraine*

Estimations of lubricating layer thickness of mineral oils – aviation MC-20, compressor-12M, industrial-20, Vaseline (medicine) – and dependence films thickness of mineral oils on loading and temperature are given.